

九州大学工学部 正会員 ○彦坂 熙

ク ツ 正会員 吉村虎藏

ク ツ 学生員 坂元雅信

1. 緒言

アーチクラウンの水平変位拘束状態が異なる上路式2ヒンジアーチ橋について、地震動を想定したランダム入力に対する面内応答を、マルコフベクトル法により解析した。地震動加速度としてホワイトノイズ、フィルター(地盤)を通じた定常および非定常ホワイトノイズなどの確率モデルを考え、水平地動のみならず鉛直地動の効果も考慮した。

2. 上路式2ヒンジアーチ橋の面内自由振動性状

スパン119mの2ヒンジアーチ橋を15節点の平面折線構造にモデル化し、

クラウンの水平変位を全く拘束しない場合(モデルA)と、それを完全に拘束する場合(モデルB)について、ライズを種々変化させ集中質量法により自由振動解析を行った。アーチのスパン、断面および質量は天草5号橋の値

を用いたが、補剛桁と支柱の伸縮および補剛桁

の曲げ剛性は無視し、図-1のようにアーチリ

ブと補剛桁に14個の質量を集中させた。解析結果の一例として、モデルA(ライズ15m)とモ

デルB(ライズ17m)の5次までの固有振動数

と鉛直・水平成分に分けた振動モードを図-2

に示す。同図中()内の数値は天草5号橋(

ライズ15m)の起振機試験より得られた固有振

動数である。なお、天草5号橋の5次までの対

数減衰率は0.03~0.06の範囲にある。

3. 非定常ランダム応答解析

多自由度系構造物のよ次の固有円振動数を

ω_n 、固有ベクトルを $\{q_i\}$ とし、ランダム入力 $\{P(t)\}$ を受ける系の変位応答を

$$\{\dot{x}\} = \sum_i \{q_i\} q_i \{a_i\} \quad (1)$$

と表わせば、基準座標 q_i に関する微分方程式が次のように与えられる。

$$\ddot{q}_i + 2\zeta_i \omega_n q_i + \omega_n^2 q_i = M_i^{-1} \{q_i\}^T \{P(t)\} \quad (2)$$

ここに、 M_i はよ次の換算質量、 ζ_i はよ次の減衰定数。

式(1)より、ランダム応答 $\{x\}$ の共分散行列が

$$E[\{x\} \{x\}^T] = \sum_i \{q_i\} q_i \{a_i\}^T E[\{q_i\} \{q_i\}] \quad (3)$$

と表わされる。ここに $E[\cdot]$ は期待値を示す。各キヨのとき $q_i(t)$ と $q_j(t)$ は統計的に独立と仮定すれば、式(3)は

$$E[\{x\} \{x\}^T] = \sum_i \{q_i\} \{q_i\}^T E[\{q_i\} \{q_i\}] \quad (4)_a$$

となる。同様に、 $E[\{x\} \{x\}^T] = \sum_i \{q_i\} \{q_i\}^T E[\{q_i\} \{q_i\}]$, $E[\{x\} \{x\}^T] = \sum_i \{q_i\} \{q_i\}^T E[\{q_i\} \{q_i\}]$ $\quad (4)_{b,c}$

3-1. 入力がホワイトノイズの場合の解法

入力 $\{P(t)\}$ がホワイトノイズのとき、式(4)の共分散を求めるための共分散方程式が次式で与えられる。

$$\frac{d}{dt} [Q_i(t)] = -[A_i] [Q_i(t)] - [Q_i(t)] [A_i]^T + [B_i] \quad (5)$$

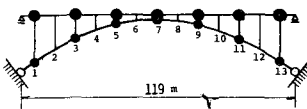


図-1

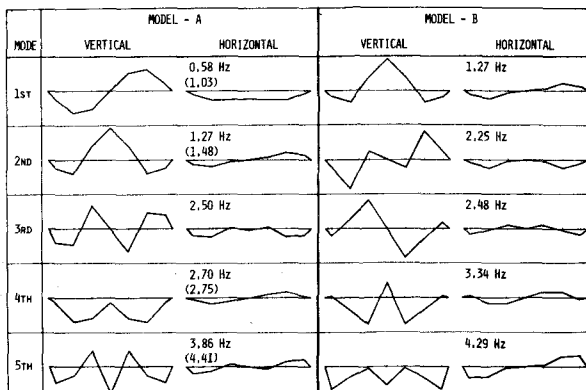


図-2 固有振動数と振動モード

$$\text{ここに, } [Q_j(t)] = E \begin{bmatrix} \dot{\eta}_j \\ \ddot{\eta}_j \end{bmatrix} \begin{bmatrix} \dot{\eta}_j^T \\ \ddot{\eta}_j^T \end{bmatrix}^T = \begin{bmatrix} E[\dot{\eta}_j \dot{\eta}_j] & E[\dot{\eta}_j \ddot{\eta}_j] \\ E[\ddot{\eta}_j \dot{\eta}_j] & E[\ddot{\eta}_j \ddot{\eta}_j] \end{bmatrix}, \quad [A_j] = \begin{bmatrix} 0 & -1 \\ \omega_j^2 & 2\beta_j \omega_j \end{bmatrix}, \quad [B_j] = \begin{bmatrix} 0 & 0 \\ 0 & 2\pi M_j^{-2} \{ \psi_j \}^T [S_{ik}] \{ \psi_k \} \end{bmatrix} \quad (6)$$

地表面の地震動加速度を $\ddot{u}(t)$ とし、これをパワースペクトル密度 S_o のホワイトノイズモデルで表わすとき、上式の $[B_j]$ 中の行列 $[S_{ik}]$ は、構造物の質量マトリックス $[m]$ を用いて次式で与えられる。

$$[S_{ik}] = [m] \{1\} \{1\}^T [m] S_o, \quad \{1\} = (1 \ 1 \ 1 \cdots 1)^T \quad (7)$$

3-2. 入力がフィルターを通して非定常ホワイトノイズの場合の解法

地盤の数学モデルをフィルターとして、これにあるホワイトノイズ過程 $a(t)$ を通し、得られた定常応答をさらに地震動の非定常性を表わす確定関数 $g(t)$ で修正して地表面の地震動加速度をモデル化することができる。最も簡単なフィルター方程式は、地盤の固有円振動数を ω_s 、減衰定数を β_s として次のように表わされる。

$$\ddot{y} + 2\beta_s \omega_s \dot{y} + \omega_s^2 y = -a(t) \quad (8)$$

$$\ddot{u}(t) = g(t) \{a(t) + \dot{y}(t)\}, \quad \{p(t)\} = -[m] \{1\} \ddot{u}(t) \quad (9)$$

式(2), (8), (9)より、応答 η_s , η_d , y , \dot{y} に関する次の共分散方程式が導かれる。

$$\frac{d}{dt} [R_j(t)] = -[C_j(t)] [R_j(t)] - [R_j(t)] [C_j(t)]^T + [D_j] \quad (10)$$

$$\text{ここに, } [R_j(t)] = E \begin{bmatrix} \dot{\eta}_j \\ \ddot{\eta}_j \\ \eta_s \\ \eta_d \\ y \\ \dot{y} \end{bmatrix} \begin{bmatrix} \dot{\eta}_j \\ \ddot{\eta}_j \\ \eta_s \\ \eta_d \\ y \\ \dot{y} \end{bmatrix}^T, \quad [C_j(t)] = \begin{bmatrix} 0 & -1 & 0 & 0 & 0 & 0 \\ \omega_s^2 & 2\beta_s \omega_s & -M_j^{-2} \{ \psi_j \}^T [m] \{1\} \omega_s^2 g(t) & -M_j^{-2} \{ \psi_j \}^T [m] \{1\} 2\beta_s \omega_s g(t) & 0 & 0 \\ 0 & 0 & 0 & 0 & 0 & 0 \\ 0 & 0 & 0 & 0 & 0 & 0 \\ 0 & 0 & 0 & 0 & 0 & 0 \\ 0 & 0 & 0 & 0 & 0 & 0 \end{bmatrix}, \quad [D_j] = \begin{bmatrix} 0 & 0 & 0 & 0 \\ 0 & 0 & 0 & 0 \\ 0 & 0 & 0 & 0 \\ 0 & 0 & 0 & 0 \\ 0 & 0 & 0 & 0 \\ 0 & 0 & 0 & 0 \end{bmatrix} \quad (11)$$

$[D_j]$ 中の S_o は、ホワイトノイズ過程 $a(t)$ のパワースペクトル密度である。応答 η_s や η_d は定常過程であるから、その共分散が式(8)より容易に求められることを考慮して式(10)を解けば、構造系の非定常ランダム応答の共分散が算定される。なお、上式において $g(t) = 1$ とすれば、地震動加速度 $\ddot{u}(t)$ は定常ランダム過程となる。

4. 数値計算例

紙面の都合により、ここではホワイトノイズ入力に対する解析結果の一部を示すにとどめる。式(7)において $S_o = 5.85 \text{ cm}^2/\text{sec}^3$ とし（水平加速度 120 gal, 繼続時間 25 秒の地震に相当する）、まずモデル A について、鉛直および水平変位の過渡的非定常応答の R.M.S. 値に及ぼす地震継続時間 t の影響を図-3 に、また橋梁の減衰定数 h （各振動次数とも同一値）の効果を図-4 にそれぞれ示した。図-5 は、水平地動と同時にパワースペクトル密度 S_o の鉛直地動加速度をも考え、モデル B の変位応答の R.M.S. 値に及ぼす h の効果を示したものである。

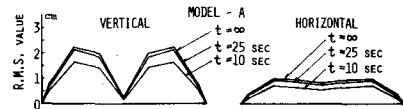


図-3 非定常変位応答のR.M.S.値 ($h=0.01$)

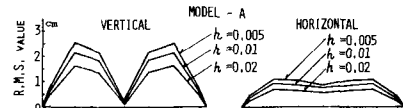


図-4 減衰定数の影響 ($t=25 \text{ sec}$)

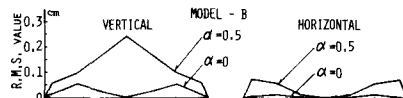


図-5 鉛直地動の効果 ($h=0.01, t=\infty$)

参考文献

- 1) Y. K. Lin著（森大吉他共訳）：構造動力学の確率論的方法，培風館，P189，昭和47年3月。
- 2) 岡林隆敏：非定常不規則荷重を受ける構造系の自乗平均応答，長崎工業大学部研究報告，第5号，P115，昭和49年12月。
- 3) 日本道路公团：工事報告 天草五橋，P736，昭和42年5月。
- 4) R. W. Clough and J. Penzien : Dynamics of Structures, McGraw-Hill, P613, 1975.